

خواص مکانیکی و مطالعه برگشت فنری در فرایند شکل دهی خزشی آلیاژ آلمینیم ۷۰۷۵

رسول علیپور مقدم و حمیدرضا شاهوردی*

گروه مهندسی مواد، دانشکده فنی و مهندسی، دانشگاه تربیت مدرس

(دریافت مقاله: ۱۳۹۷/۳/۹ - دریافت نسخه نهایی: ۱۳۹۸/۲/۲۵)

چکیده- فرایند شکل دهی خزشی از جمله فرایندهای نوینی است که به دلیل بهبود خواص مکانیکی و کاهش هزینه های تولید در صنایع هواپیم توسعه یافته است. شکل دهی خزشی بر اساس پدیده خرش و آزادسازی تنش در حین عملیات پرسازی آلیاژ های عملیات حرارتی پذیر آلمینیوم رخ می دهد. در این پژوهش، شکل دهی خزشی آلیاژ آلمینیوم ۷۰۷۵ در دهه های ۱۲۰، ۱۵۰ و ۱۸۰ درجه سانتی گراد و زمان های ۶، ۲۴ و ۴۸ ساعت انجام شد و از آزمون های کشش و سختی برای مشخصه یابی نمونه ها استفاده شد. با اندازه گیری میزان برگشت فنری مشخص شد که این پاسخ تابع دما و زمان بوده و با افزایش دما و زمان شکل دهی خزشی، از ۵۴/۱ درصد به ۳۹/۵۱ درصد کاهش می یابد. خواص مکانیکی نمونه ها نشان داد که با افزایش زمان شکل دهی، استحکام و سختی افزایش می یابد که دلیل آن، می تواند تحولات ریز ساختاری ناشی از فرایند رسوب گذاری در حین شکل دهی خزشی باشد. با توجه به نتایج، دو نمونه به عنوان نمونه های بهینه از نظر برگشت فنری و خواص مکانیکی انتخاب شدند و رفتار کار سختی و مورفولوژی سطح شکست آنها بررسی شد.

واژه های کلیدی: شکل دهی خزشی، آلمینیوم ۷۰۷۵، برگشت فنری، خواص مکانیکی.

Mechanical Properties and Spring -Back Investigation in Creep Age Forming Process of 7075 Al Alloy

R. Alipour Mogadam and H. R. Shahverdi*

Materials Engineering Department, Engineering Faculty ,Tarbiat Modares University, Tehran, Iran.

Abstract: Creep age forming (CAF) process is a novel metal forming method with major benefits including improved mechanical properties and cost reduction for aviation industry applications. CAF happens due to creep phenomenon and stress-release during the artificial aging of heat-treatable aluminum alloys. In this work, the creep age forming of 7075 Aluminum alloy at 120, 150 and 180 °C for 6, 24 and 48 h was done; tensile and hardness tests were used to characterize the samples. Results on spring-back revealed that it was influenced by time and temperature; by increasing the time and temperature, it was reduced from 54.1 to 39.51. Mechanical property evaluation also showed that by increasing the time, the strength and hardness could be enhanced due to microstructural evolution and precipitation during the CAF process. According to the mechanical and CAF results, two samples were selected as the optimum ones and their work hardening behavior and fracture surfaces were investigated

Keywords: Creep-age Forming, 7075 Aluminum Alloy, Springback, Mechanical Properties.

*: مسئول مکاتبات، پست الکترونیکی: shahverdi@modares.ac.ir

۱- مقدمه

اتفاق می‌افتد. از این‌رو، چگونگی کاهش میزان برگشت فنری همراه با خواص مکانیکی مطلوب در قطعات شکل‌دهی خرشار شده مشکل کلیدی است که برای توسعه کاربرد این روش نیاز به مرتفع شدن دارد چرا که برگشت فنری بالا باعث مشکلاتی در طول موئناز قطعات شکل‌دهی شده می‌شود.

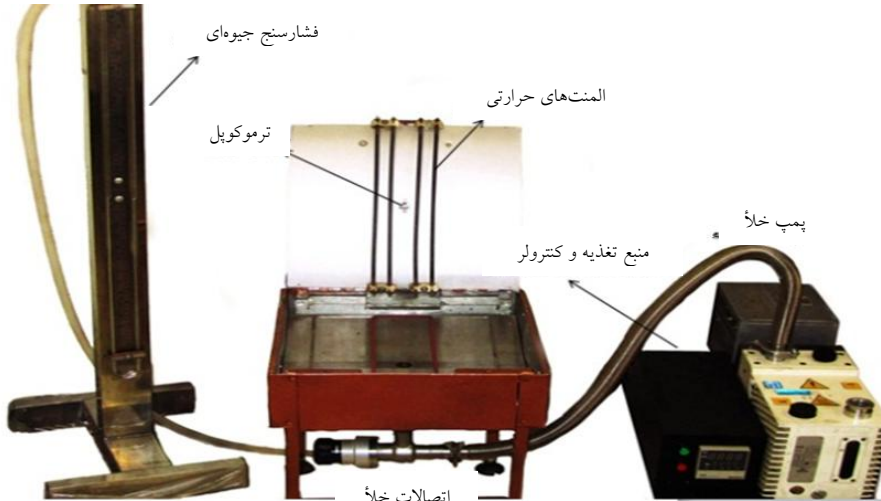
در طول سال‌های اخیر، تحقیقات گستره‌های روی برگشت فنری و خواص مکانیکی قطعات شکل‌دهی خرشار شده صورت گرفته است. ژان و همکاران [۸]، نشان دادند که میزان برگشت فنری در فرایند شکل‌دهی خرشار با افزایش دما و زمان شکل‌دهی تقریباً به صورت خطی کاهش می‌یابد اما با افزایش شعاع خمش، افزایش می‌یابد. ژان و همکاران [۹]، با استفاده از آنالیزهای مختلف نتایج تجربی، بیان کردند که چهار متغیر مؤثر بر برگشت فنری عبارتند از: دمای شکل‌دهی، زمان بارگذاری، ضخامت قطعه و شعاع خمش. برای پنل‌های آج‌دار، جیا و همکاران [۱۰]، دریافتند که مقادیر برگشت فنری به‌علت بازیابی الاستیک لایه محصور به‌وسیله کرنش‌های پلاستیکی آج به‌طور قابل توجهی کاهش می‌یابد. اعرابی و همکاران [۱۱]، بی‌بردن که عملیات حرارتی دو مرحله‌ای برای شکل‌دهی خرشار مطلوب نیست زیرا خواص مکانیکی به‌طور قابل ملاحظه‌ای کاهش می‌یابد اگرچه برگشت فنری نیز به میزان کمی کاهش می‌یابد. ژانگ و همکاران [۱۲]، نشان دادند که برگشت فنری تحت تأثیر شرایط شکل‌دهی است و همچنین به وضعیت تنفس داخلی مواد مربوط است و صفحات دارای دو انحصار، برگشت فنری کم و خواص مکانیکی بالاتری در مقایسه با صفحات تک انحصار دارند. هو و همکاران [۱۳]، از معادلات ساختاری خرشار برای شبیه‌سازی برگشت فنری در شکل‌دهی خرشار استفاده کردند. نتایج نشان داد که خرشار به‌طور عمده نزدیک سطوح بالایی و پایینی قطعه اتفاق می‌افتد و میزان برگشت فنری می‌تواند با نسبت ناحیه خرشار بیشتر^۴ به ناحیه خرشار کمتر^۵ ارزیابی شود.

در دو دهه گذشته مطالعات متعددی روی شکل‌دهی خرشار آلیاژهای آلومینیوم صورت گرفته است که بیشتر آنها شکل‌دهی

آلیاژهای تجاری Al-Zn-Mg-Cu (سری ۷۰۰۰) به‌سبب خواص مکانیکی عالی، نسبت استحکام به وزن بالا، مقاومت به رشد ترک خستگی، چقرمگی شکست و مقاومت به خوردگی تنشی^۱ (SCC) مطلوب، به‌طور گسترده در سازه‌های هوایی و همچنین وسایل و تجهیزات نظامی استفاده می‌شوند [۱-۳]. در دهه‌های گذشته، گسترش آلیاژهای آلومینیوم سری ۷۰۰۰ با طراحی ترکیب عنصر آلیاژی اصلی (بیشتر عنصر روی) و نوآوری در فرایندهای شکل‌دهی آنها منجر به دستیابی سطح استحکام بالاتر نسبت به قبل شده است [۴ و ۵]. روش‌های مکانیکی مرسوم شکل‌دهی برای ساخت پنل‌های آلومینومی مانند نورد و فورج بر پایه تغییر شکل پلاستیک هستند و تنفس پسماند زیادی در قطعه تولید می‌کنند و زمانی که قطعه تحت بارگذاری دینامیکی قرار می‌گیرد، حضور تنفس پسماند باعث ناکارامدی قطعه می‌شود [۶]. برای مقابله با این مشکل، یک روش شکل‌دهی جدید توسط شرکت سازه‌های هوایی تکسترون^۲ توسعه یافت که به عنوان یک روش پیشرفته برای شکل‌دهی اجزا با انحنای پیچیده و دستیابی به خواص مکانیکی مطلوب شناخته شده است. این روش شکل‌دهی پیشرفته، شکل‌دهی خرشار^۳ (CAF) نامیده می‌شود. شکل‌دهی خرشار در مقایسه با روش‌های شکل‌دهی دیگر برای رفتار آزادسازی تنفس در طی پیرسازی مصنوعی آلیاژهای آلومینیوم تحت تنفس استفاده می‌شود. شکل‌دهی خرشار فرایندی است که طی آن یک ورق (معمولآً آلومینیومی) توسط سازوکار تغییر شکل خرشاری، به شکل مورد نیاز شکل‌دهی می‌شود. در حالی که فرایند رسوب گذاری نیز به‌طور همزمان اتفاق می‌افتد. نکته قابل توجه این است که فرایند شکل‌دهی خرشار می‌تواند روی آلیاژهای آلومینیوم عملیات حرارتی پذیر سری‌های ۲۰۰۰، ۶۰۰۰ و ۷۰۰۰ اعمال شود [۷]. یکی از چالش‌های اصلی برای بهبود کارایی روش شکل‌دهی خرشاری، پیش‌بینی مقدار برگشت فنری به وجود آمده در طول فرایند است که به‌دلیل محدودیت در استفاده از دمای پیشینه و زمان شکل‌دهی برای دستیابی به ریزساختار مورد نیاز

جدول ۱- ترکیب شیمیایی آلیاژ آلمینیوم ۷۰۷۵ بر حسب درصد وزنی

عنصر آلیاژی	درصد وزنی
other	۰/۰۸
Cr	۰/۱۷
Si	۰/۲۳
Fe	۰/۲۵
Cu	۱/۲۲
Mg	۲/۰۱
Zn	۵/۲۰
Al	Bal.



شکل ۱- قالب مورد استفاده برای شکل دهی خزشی

خزشی آلیاژهای آلمینیوم- مس را بررسی کرده‌اند [۱۴-۱۶]. با این حال اطلاعات محدودی درباره شکل دهی خزشی آلیاژهای سری ۷۰۰۰ آلمینیوم وجود دارد. چرا که با عملیات پیرسازی مصنوعی این سری از آلیاژهای آلمینیوم، می‌توان خواص مطلوبی به دست آورد. بنابراین شکل دهی خزشی می‌تواند به عنوان یک فرایند ساخت نوینی برای تولید قطعات استحکام بالای آلیاژهای ۷۰۰۰ مثل بدن و پوسته بال هواپیما به کار رود [۱۷ و ۱۸]. هدف از این پژوهش نیز شکل دهی خزشی آلیاژ آلمینیوم ۷۰۷۵ در دمایها و زمان‌های مختلف برای دستیابی به میزان برگشت فنری و خواص مکانیکی بهینه با توجه به کاربرد این مواد است.

۲-۲- شکل دهی خزشی

در این پژوهش، قالب طراحی شده برای دستگاه از نوع قالب‌های سبک با مکش خلاً است. این قالب به صورت یک تکه، با انحنای $1/9$ بر متر و فاصله از سطح افق 3 سانتی‌متر به ابعاد 35×35 سانتی‌متر مربع است (شکل ۱). برای شکل دهی خزشی، ابتدا نمونه‌ها در دمای 480 ± 10 درجه سانتی‌گراد به مدت 120 دقیقه در کوره نگهداری و سپس در آب 25 درجه سانتی‌گراد کوئنچ شدند. هدف از این عملیات، محلول‌سازی عناصر آلیاژی از جمله روی، منیزیم و مس برای پیرسازی و شکل دهی در مرحله بعد بود. سپس ورق در حالت آنیل انجالی ر روی قالب قرار داده شد. بدین صورت که با نیروی بسیار کم ورق روی ارینگ نگهداشته می‌شود. در این حالت با

۲- مواد و روش تحقیق

۲-۱- ماده اولیه

ماده مورد استفاده در این پژوهش ورق از جنس آلیاژ آلمینیوم

جدول ۲- سیکل‌های حرارتی مورد استفاده در پژوهش

شماره آزمایش	دما (درجه سانتی گراد)	زمان (ساعت)
۱	۱۲۰	۶
۲	۱۲۰	۲۴
۳	۱۲۰	۴۸
۴	۱۵۰	۶
۵	۱۵۰	۲۴
۶	۱۵۰	۴۸
۷	۱۸۰	۶
۸	۱۸۰	۲۴
۹	۱۸۰	۴۸

جهت نورد و در دمای اتاق با استفاده از دستگاه 20 SANTAM و سرعت حرکت یک میلی‌متر بر دقیقه انجام شد. در هر یک از سیکل‌های شکل‌دهی این آزمون سه بار برای هر یک از شرایط انجام شد. پس از انجام آزمون، میانگین استحکام تسلیم و کششی استخراج شد. آزمون سختی سنجی در دمای محیط مطابق با استاندارد ASTM E10 به روش برینل و با استفاده از ساچمه‌ای با قطر ۲/۵ میلی‌متر و با نیروی ۶۲/۵ کیلوگرم نیرو انجام شد. سختی گزارش شده در هر سیکل حرارتی میانگین اندازه‌گیری سختی در سه نقطه مختلف است.

۳- نتایج و بحث

۱- ۳- خواص شکل‌دهی خرزشی

شکل (۲) منحنی سه بعدی تغییرات برگشت فنری بر حسب دما و زمان شکل‌دهی را نشان می‌دهد. همان‌طور که مشاهده می‌شود، برگشت فنری تابعی از دما و زمان شکل‌دهی است و با افزایش دما و زمان شکل‌دهی، کاهش می‌یابد. به‌طوری که از ۵۴/۱ درصد در حالت ۱۸۰-۴۸ به ۳۹/۵۱ در حدود ۱۲۰-۶ می‌کاهش می‌یابد. از آنجا که خرزش یک فرایند نفوذی و واپسی به دما و زمان است، به‌همین دلیل با افزایش این دو عامل میزان کرنش خرزشی افزایش می‌یابد و از مقدار کرنش الاستیک کاسته می‌شود که در نهایت منجر به کاهش برگشت فنری می‌شود [۱۹].

شروع به کار پمپ هوای بین ورق روی ارینگ و قالب کامل تخلیه و ورق تحت فشار وارد از خلاً کاملاً به قالب می‌چسبد. توزیع یکنواخت فشار روی ورق باعث ایجاد توزیع تنش یکنواخت می‌شود. سپس در محفظه بسته شده و سیکل‌های حرارتی طراحی شده مطابق جدول (۲) روی ورق اعمال شد. منطق انتخاب دما و زمان بر اساس دمای پیرسازی این آلیاژ (محدوده دمایی ۱۲۰-۱۸۰ درجه سانتی گراد) و همچنین شرط لازم برای برای وقوع خرزش در این آلیاژ حداقل دمای آزمایش در محدوده ۴۰ درجه ذوب آلیاژ بود. پس از باربرداری و آزادسازی قطعه، فاصله عمودی بین قطعه کار شکل داده شده و سطح ابزار، اندازه‌گیری و میزان برگشت فنری قطعه مطابق رابطه (۱) محاسبه شد.

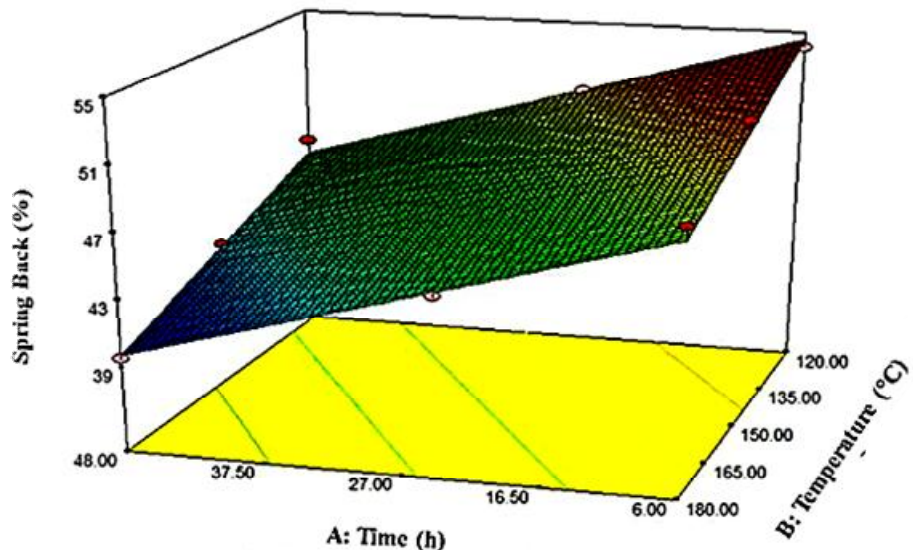
$$R(\%) = \frac{\delta_{\max}}{\delta_0} \times 100 \quad (1)$$

که در این رابطه، δ ماکریم فاصله عمودی بین قطعه کار تغییر شکل نیافته اولیه و سطح ابزار و δ_{\max} ماکریم فاصله عمودی بین قطعه کار شکل داده شده و سطح ابزار است. میزان کرنش خرزشی از رابطه (۲) محاسبه شد که R در این رابطه میزان برگشت فنری است

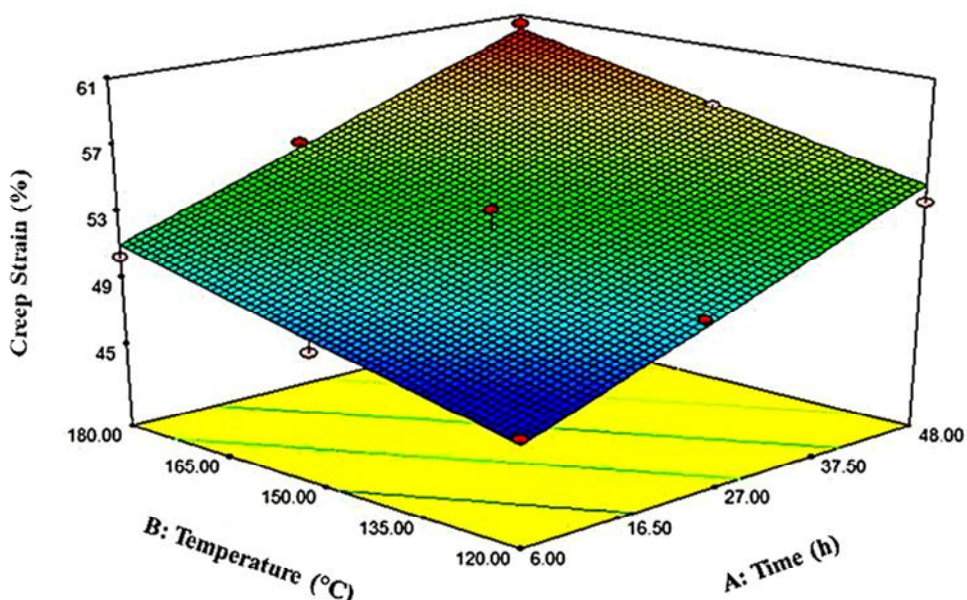
$$\text{Creep Strain}(\%) = (100 - R) \quad (2)$$

۲- مشخصه یابی

آزمون کشنش مطابق با استاندارد ASTM E8 در دمای محیط در



شکل ۲- نمودار سه بعدی برگشت فنری برحسب دما و زمان شکل دهنی خرزشی



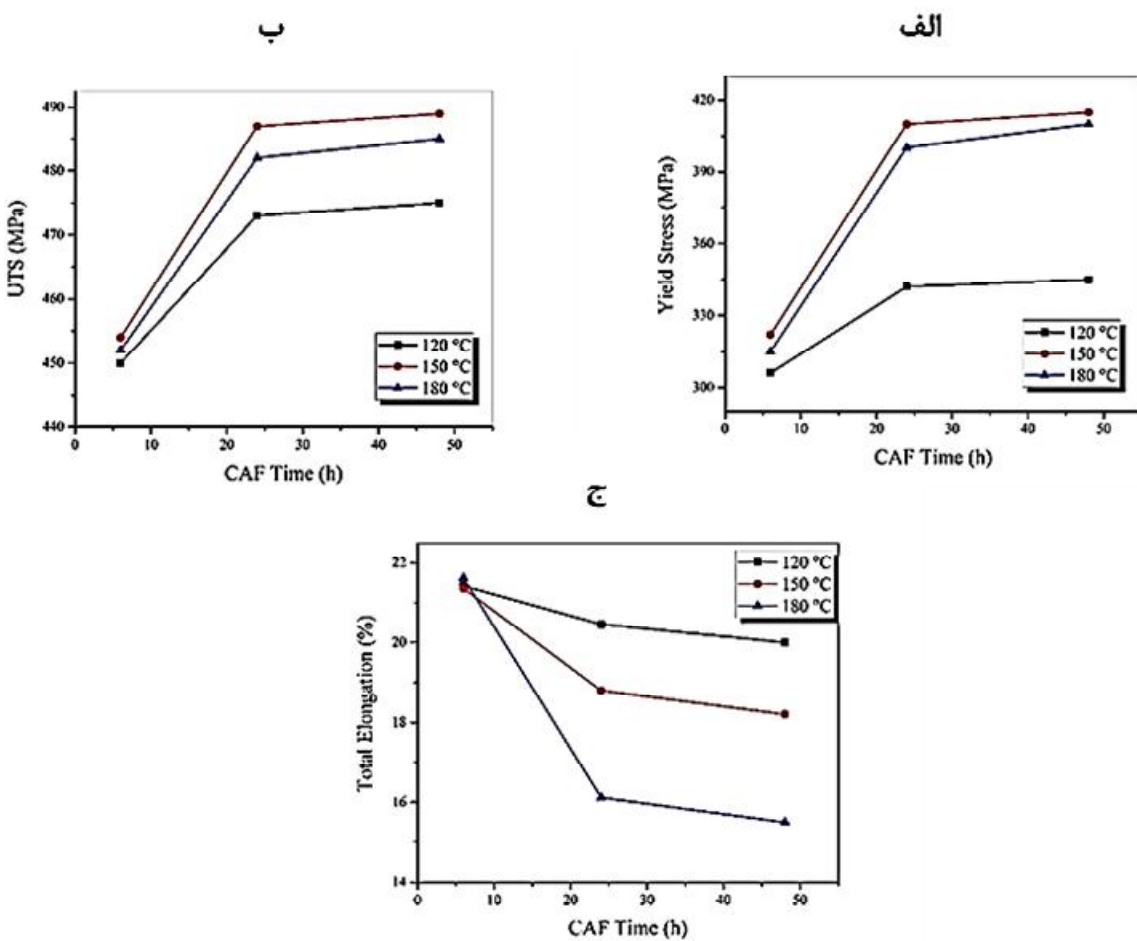
شکل ۳- نمودار سه بعدی کرنش خرزشی برحسب دما و زمان شکل دهنی خرزشی

حالت پایدار^۶ هستند که در این حالت نرخ خرزش (شیب نمودار) ثابت است که ناشی از توازن بین فرایندهای کار سختی و بازیابی است [۲۰].

۳-۲- خواص مکانیکی

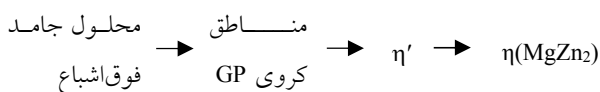
در شکل (۴) نحوه تغییرات خواص مکانیکی (استحکام کششی،

منحنی سه بعدی کرنش خرزشی در شرایط مختلف در شکل (۳) نشان داده شده است. با توجه به نمودار، روند تغییر شکل خرزشی در هر سه دمای شکل دهنی مشابه یکدیگر است و با افزایش دما و زمان شکل دهنی افزایش می یابد و در حالت ۱۸۰-۴۸ به مقدار بیشینه ۶۰/۴۹ درصد می رسد. همان طور که مشاهده می شود، منحنی های خرزشی فقط شامل ناحیه خرس



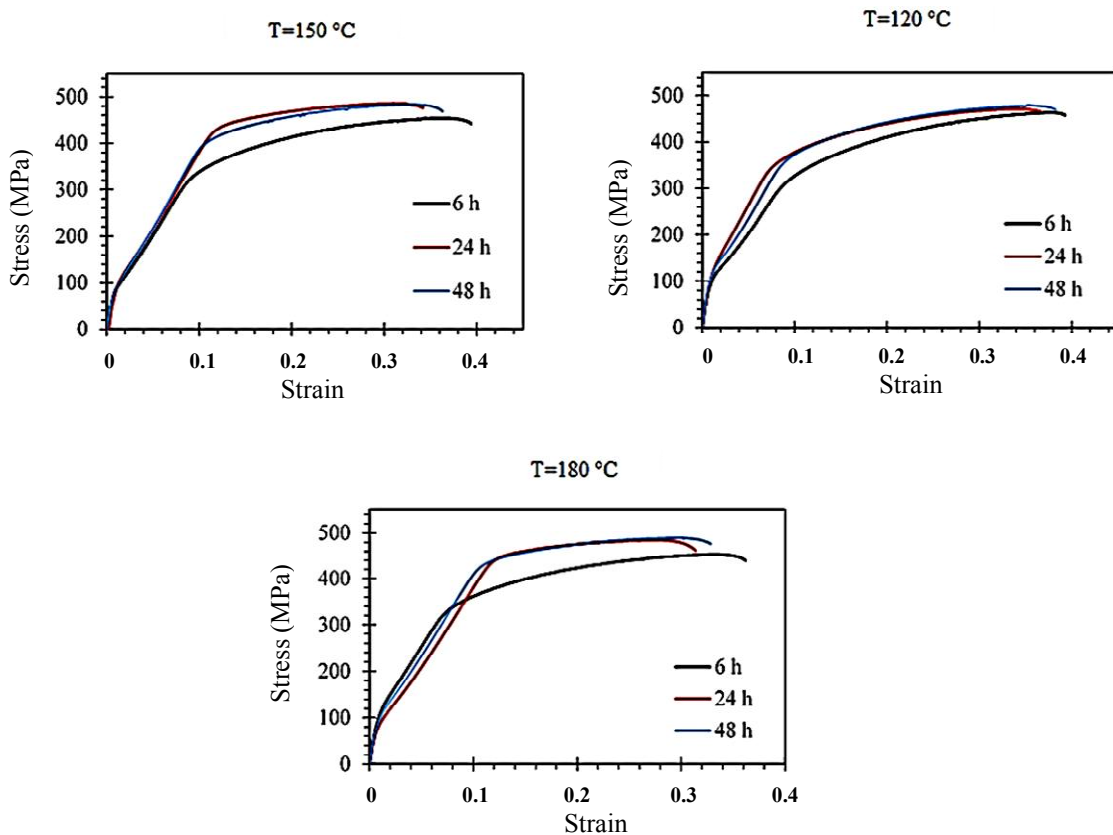
شکل ۴- تغییرات: الف) تنش تسلیم، ب) استحکام کششی و ج) درصد ازدیاد طول بر حسب زمان در دماهای مختلف شکل دهنی خوشی

۷۰ مگاپاسکال در دماهای بالاتر می‌رسد. در همین حال، زمان شکل دهنی برای دستیابی به بیشینه استحکام با افزایش دما، کاهش می‌یابد. تغییرات استحکام می‌تواند به پرسختی ناشی از شکل‌گیری خوشه‌های حل شده و رسوب‌گذاری و همچنین کرنش سختی به دلیل تغییر شکل خوشی نسبت داده شود [۲۱]. برای فهم بهتر قابل ذکر است که ترتیب رسوب‌گذاری در آلیاژهای آلومینیوم سری ۷۰۰۰ به صورت زیر است [۲۲]:



که در آن، η' یک فاز انتقالی و η رسوب تعادلی MgZn_2 است. با شکل دهنی نمونه‌ها در زمان شش ساعت، خوشه‌های حل شده GP تشکیل می‌شوند که فصل مشترک این رسوبات با زمینه

تسليم و درصد ازدیاد طول) و شکل (۵) نمودار تنش- کرنش نمونه‌های شکل دهنی شده در دما و زمان‌های مختلف نشان داده شده است. با توجه به منحنی‌های (۴-الف) و (۴-ب) در هر سه دما با افزایش زمان شکل دهنی، در ابتدا تنش تسلیم و استحکام کششی افزایش می‌یابد و پس از ۲۴ ساعت حداقل استحکام حاصل می‌شود و در ادامه با افزایش بیشتر زمان تا ۴۸ ساعت میزان استحکام تقریباً ثابت می‌ماند. مقایسه استحکام نمونه‌های شکل دهنی شده نشان می‌دهد که استحکام تسلیم نمونه‌های شکل دهنی شده در دماهای ۱۵۰ و ۱۸۰ درجه سانتی گراد تقریباً نزدیک بهم بوده و اختلاف کمی (۱۰-۵ مگاپاسکال) با یکدیگر دارند. در حالی که در مقایسه با نمونه شکل دهنی شده در دمای ۱۲۰ درجه سانتی گراد این اختلاف به



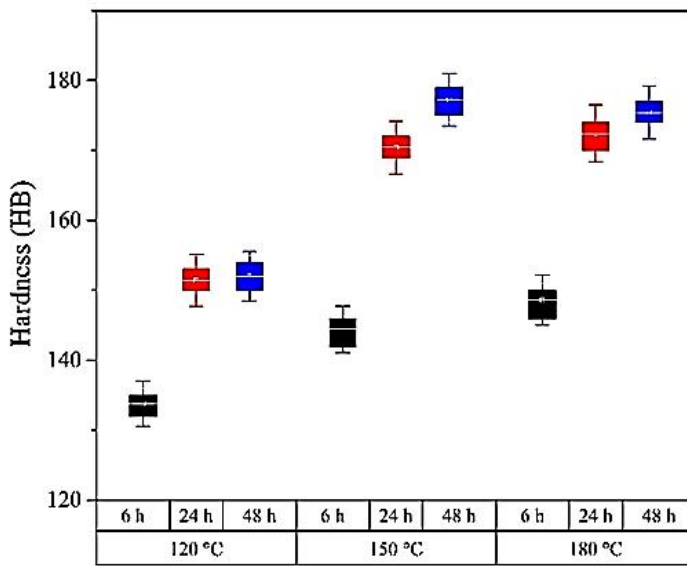
شکل ۵- نمودار تنش- کرنش در دماها و زمان‌های مختلف شکل‌دهی خزشی

فصل مشترک رسوبات با زمینه غیر هم‌سیما می‌شود. بنابراین در این مرحله سازوکار عور نابجایی از رسوبات از طریق دورزن و تشكیل حلقه است [۲۱].

شکل (۴-ج) تغییرات افزایش طول نمونه‌های شکل‌دهی شده را نشان می‌دهد. همان‌طور که مشاهده می‌شود، در هر سه دما، تغییرات افزایش طول روند مشابهی دارد، به‌طوری که زمان شش ساعت بیشترین میزان افزایش طول را دارد و با افزایش زمان، این مقدار کاهش می‌یابد. روند کاهش افزایش طول با افزایش زمان توسط پژوهشگران دیگر نیز گزارش شده است. به‌طوری که در پیرسازی خزشی آلیاژ Al-Li-S4 که توسط لیبین و همکاران صورت گرفته است [۲۳]. افزایش طول با افزایش زمان از ۲۱ درصد به هشت درصد کاهش می‌یابد. در پژوهش دیگری نیز که توسط ژانگ و همکاران انجام گرفته است [۱۲]، افزایش طول آلیاژ ۲۱۲۴ شکل‌دهی خزشی شده با افزایش زمان از ۲۳ درصد به هشت درصد کاهش

هم‌سیما است و در حدود یک تا دو اتم ضخامت دارند [۲۱]. به‌همین دلیل انرژی فصل مشترک آنها کم و جوانه‌زنی آنها آسان است. در این مرحله تعداد مناطق GP به سرعت افزایش می‌یابد و استحکام تسلیم به دلیل جوانه‌زنی و رشد این رسوبات افزایش می‌یابد [۲۲].

با افزایش زمان شکل‌دهی تا ۴۸ ساعت استحکام ماده با افزایش اندازه رسوبات افزایش می‌یابد و رسوبات ۷ نیمه هم‌سیما با ساختار نزدیک به ساختار تعادلی ایجاد می‌شوند [۲۱]. پیش‌ستخی در این مرحله به بیشترین مقدار می‌رسد که سبب ایجاد بیشترین استحکام می‌شود. از طرف دیگر در نمونه‌های شکل‌دهی شده در زمان شش ساعت که دارای رسوبات GP با فصل مشترک هم‌سیما با زمینه هستند، نابجایی‌ها قادر به برش رسوبات است، و به راحتی از آنها عبور می‌کنند، به‌همین دلیل استحکام ماده در این حالت نسبت به زمان‌های دیگر کمتر است. با افزایش زمان شکل‌دهی تا ۲۴ و ۴۸ ساعت رسوبات درشت‌تر می‌شوند و



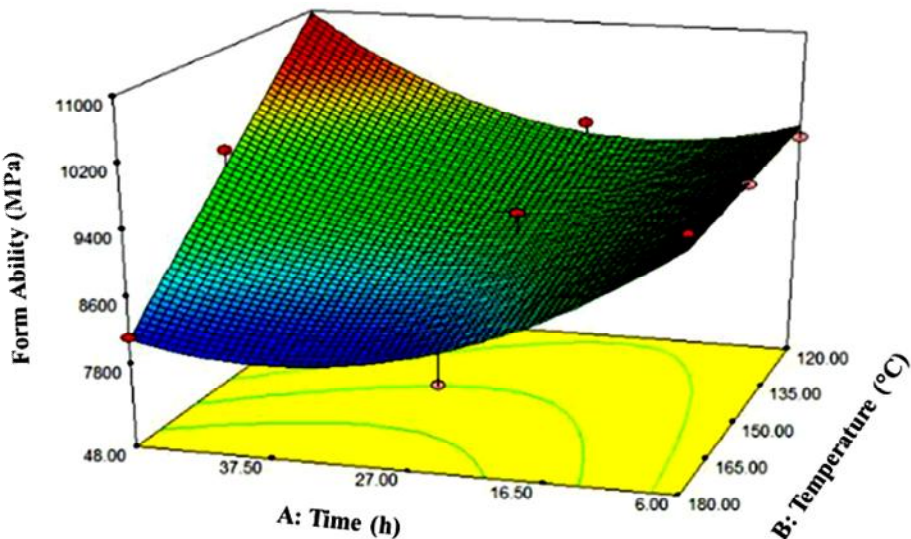
شکل ۶- تغییرات سختی نمونه‌های شکل دهی شده برحسب دما و زمان شکل دهی خزشی

تا به مقدار بیشینه خود بررسد و سپس با گذشت زمان تقریباً ثابت می‌ماند. در فرایند شکل دهی خزشی تنش اعمالی و دمای پیرسازی تأثیر قابل توجهی روی سختی دارند. چون هر دو تشکیل فازهای رسوبی را بهشدت ترویج می‌کنند. در مراحل اولیه پیرسازی سختی به دلیل تشکیل سریع رسوبات هم سیمای GP افزایش می‌یابد. با افزایش زمان پیرسازی مناطق GP به فازهای α' تبدیل می‌شوند. این فازهای انتقالی باعث افزایش سختی تا نقطه اوج پیری می‌شوند. با این حال سختی پس از پیک پیری با افزایش دما شروع به کم شدن می‌کند چون ماده در حالت فراییری قرار می‌گیرد [۲۴]. لازم به ذکر است که حالت فراییری در این پژوهش مشاهده نشد.

به عنوان شاخص شکل پذیری و جذب انرژی مواد، حاصل ضرب درصد ازدیاد طول و استحکام کششی نهایی به صورت شاخصی تقریبی در صنایع استفاده می‌شود [۲۵]. همان‌طور که در شکل (۷) مشاهده می‌شود، در زمان ثابت، با افزایش دمای شکل دهی، این شاخص برای آلیاز ۷۰۷۵ شکل دهی خزشی شده کاهش می‌یابد. شاخص شکل پذیری برای شرایط مختلف شکل دهی، مقادیری بین ۷۸۳۴ و ۱۰۷۴۵ مگاپاسکال درصد دارد که این مقادیر در محدوده سایر آلیازهای

می‌یابد. مطابق شکل (۴-ج) درصد ازدیاد طول برای هر سه دما در زمان ۶ ساعت به طور تقریبی یکسان بوده و مقدار میانگین $21/46$ درصد را دارد و کمترین ازدیاد طول نیز برای نمونه می‌باشد با مقدار $15/5$ درصد است. به نظر می‌رسد که نمونه‌های شکل دهی شده در زمان شش ساعت رسوبات ریزتری داشته و درنتیجه میزان تمرکز تنش موضعی در مرزدانه‌ها کمتر است. از طرف دیگر چون میزان رشد رسوبات در این زمان کمتر است، عرض نواحی خالی از رسوب که تابع دما و زمان شکل دهی است و با افزایش دما و زمان افزایش می‌یابد، نسبت به دمای دیگر کمتر است [۲۱]. این عوامل باعث می‌شوند، که جوانه‌زنی ترک به تعویق افتاد و نمونه انعطاف‌پذیری بیشتری از خود نشان دهد. درحالی که برای نمونه‌های 24 و 48 ساعت چون اندازه رسوبات بزرگ‌تر می‌شوند، میزان تمرکز تنش موضعی و عرض نواحی خالی از رسوب بیشتر است و ترک سریع‌تر جوانه‌زنی می‌کند درنتیجه میزان انعطاف‌پذیری نمونه‌ها کاهش می‌یابد.

شکل (۶) نمودار تغییرات سختی برحسب زمان شکل دهی در دمای مختلف را نشان می‌دهد. همان‌طور که مشاهده می‌شود، با افزایش زمان در هر سه دما، سختی افزایش می‌یابد،



شکل ۷- نمودار سه بعدی شکل پذیری بر حسب دما و زمان شکل دهی خزشی

کارسختی نمونه‌ها را به سه مرحله تقسیم‌بندی کرد:

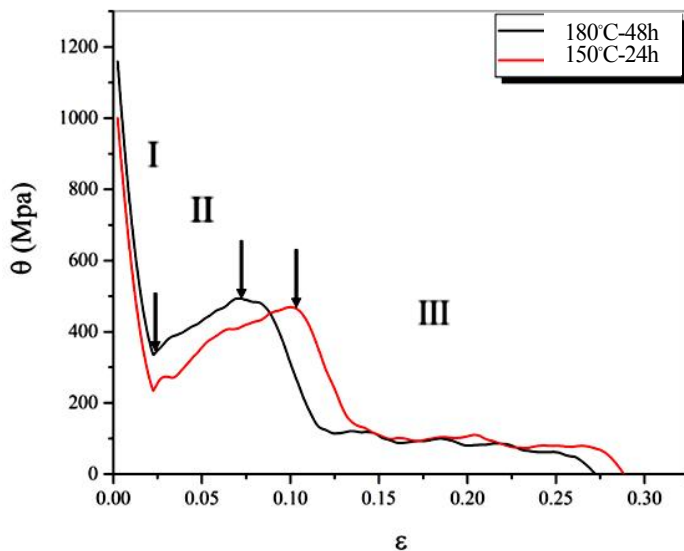
کاهش نرخ کارسختی در مرحله اول در واقع تأثیر نابجایی‌های جزئی در قالب دو قطبی‌هاست که در نرخ ثابت انباشته شده‌اند. برای این مرحله، پیرسازی مصنوعی نقش عمده‌ای داشته و به اندازه رسوبات و کسر حجمی آنها وابسته است. با توجه به شکل (۷)، برای نمونه ۱۵۰-۲۴ به دلیل کم بودن دما و زمان شکل دهی، اندازه رسوبات کوچک‌تر بوده و موانع کمتری در مسیر حرکت نابجایی‌ها وجود دارد [۲۱]، درنتیجه میزان انباشت نابجایی‌ها در پشت موانع کمتر خواهد بود، به همین دلیل کارسختی به تأخیر می‌افتد. ولی برای نمونه ۱۸۰-۴۸ به دلیل از بین رفتان رسوبات ریز، به هم پیوستن رسوبات اتفاق می‌افتد و این رسوبات در طول ضخامت رشد می‌کنند [۲۱]. درنتیجه میزان تجمع نابجایی‌ها پشت موانع بیشتر می‌شود و در اثر اندرکنش بین رسوبات و نابجایی‌ها مرحله دوم کارسختی زودتر شروع می‌شود. به طور کلی، نرخ کارسختی در مرحله دوم نسبت به مرحله اول بیشتر است. سه سازوکار احتمالی برای توصیف این مرحله پیشنهاد شده‌است: لغزش ثانویه^۷، جنگل نابجایی‌ها^۸ و لغزش موضعی^۹ که از بین اینها، مدل لغزش موضعی به نظر می‌رسد، که گزارش بهتری برای کارسختی مرحله دوم در مقایسه با دیگر مدل‌هاست.

آلومینیوم هستند [۲۰، ۲۶ و ۲۷].

در حال حاضر شکل دهی خزشی به طور گسترده‌ای در صنایع فضایی به خصوص برای ساخت پوسته و پنل‌های بال و بدنه هواپیما مورد استفاده قرار می‌گیرد. از طرف دیگر، با توجه به اجتناب ناپذیر بودن برگشت فنری در این فرایند، همچنین نیاز به شکل پذیری بالا، لازم است تا قطعات تولید شده به این روش هم خواص مکانیکی بهتر و هم برگشت فنری کمتری داشته باشند. بنابراین، طبق نتایج به دست آمده، دو نمونه ۱۵۰-۲۴ و ۱۸۰-۴۸ که به ترتیب خواص مکانیکی و شکل پذیری بالا و کمترین برگشت فنری را دارند، به عنوان نمونه‌های بهینه انتخاب شده و در ادامه به بررسی رفتار کارسختی و سطح شکست این نمونه‌ها پرداخته می‌شود.

۳-۳- کارسختی

منحنی کارسختی برای نمونه‌های ۱۵۰-۲۴ و ۱۸۰-۴۸ در شکل (۸) نشان داده شده است. همان‌طور که مشاهده می‌شود، در هر دو منحنی یک کاهش اولیه خیلی سریع وجود دارد که به انتقال استیک-پلاستیک مربوط است. همچنین منحنی‌ها یک رفتار موجی شکل داشته و دارای مشخصه دره و قله پس از نقطه انتقالی هستند. بر اساس تغییرات شبیه منحنی‌ها، می‌توان رفتار



شکل ۸- نمودار کارسختی نمونه های ۱۵۰-۴۸ و ۱۸۰-۲۴

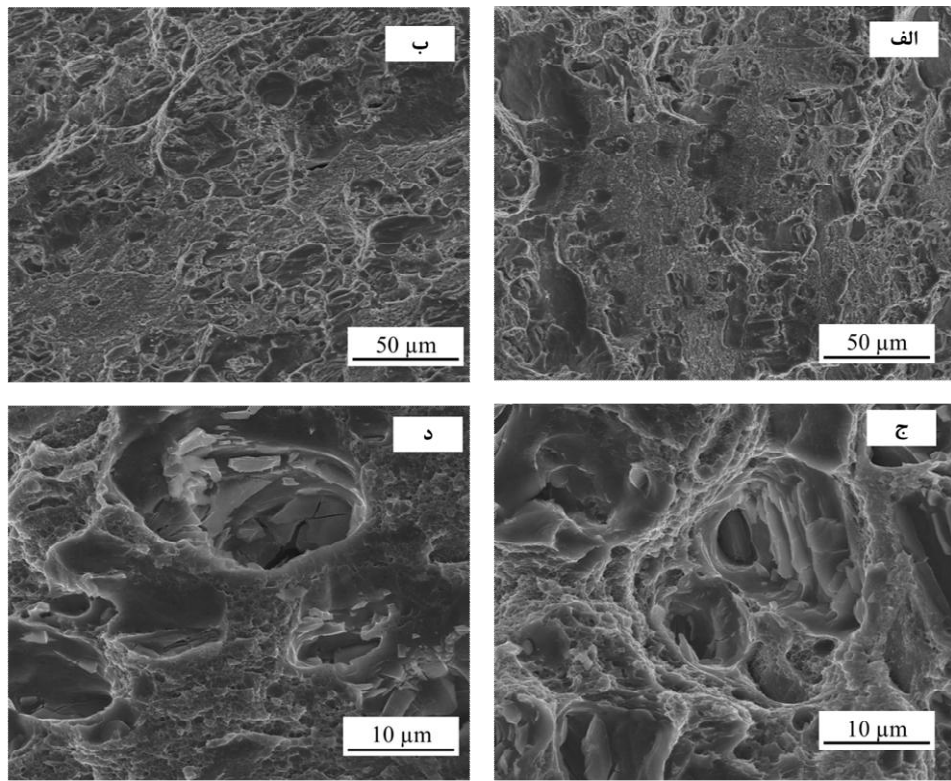
قسمت های با علامت مخالف حلقه های نابجایی در صفحات لغش مختلف، یکدیگر را حذف می کنند و بنابراین یک سازوکار بازیابی دینامیکی شکل می گیرد [۲۹]. مدت زمان مراحل دوم و سوم با میزان کرنش نسبت عکس با یکدیگر دارند [۲۸] و این امر برای هر دو نمونه، صادق است. به عبارت دیگر در حالت ۱۵۰-۲۴ افزایش در میزان کرنش مرحله دوم با کاهش طول مرحله سوم همراه است. برای نمونه ۱۸۰-۴۸ نیز کاهش در میزان کرنش مرحله دوم با افزایش طول مرحله سوم همراه است.

۳-۴- شکست نگاری

تصاویر سطح شکست نمونه های شکل دهی شده در دو حالت ۱۵۰-۲۴ و ۱۸۰-۴۸ در شکل (۹) نشان داده شده است. در سطح شکست نمونه ها حفرات ${}^{\circ}$ و خطوط رودخانه ای 11 مشاهده می شود که چگالی و اندازه حفرات برای شرایط مختلف متفاوت است.

همان طور که در شکل (۹-الف) و (۹-ج) مشاهده می شود نمونه ۱۵۰-۲۴ تعداد حفرات بیشتری در مقایسه با نمونه ۱۸۰-۴۸ دارد. تعداد زیادی از حفرات کوچک به عنوان نشانه ای از افزایش ازدیاد طول در نظر گرفته می شود [۲۳]. بنابراین نمونه

رسوبات داخل زمینه باعث نوسان در چگالی نابجایی ها می شوند. بنابراین اندازه و توزیع آنها (که برای شرایط مختلف پیرسازی متفاوت است) نقشی اساسی در فاصله ای که نابجایی های متحرک می توانند بپیمایند و از این موانع عبور کنند، دارد. ذرات فاز ثانویه بسته به اندازه آنها با حرکت نابجایی ها قابل برش هستند (مناطق GP و η) یا غیرقابل برش (η) [۲۸]. نتایج نشان می دهد، که زمان (میزان کرنش) مرحله دوم به زمان پیرسازی در دماهای پیرسازی حساس است. مطابق منحنی های کارسختی، زمان مرحله دوم در نمونه ۱۵۰-۲۴ افزایش می یابد. این مرحله شاهدی از سختی حرکت نابجایی ها است که منجر به تش تسلیم بالاتر و تنش برشی بحرانی و همچنین مقدار بیشتر کرنش می شود. طول مرحله دوم در حالت ۱۸۰-۴۸ کاهش می یابد. چون با درشت شدن ذرات η و کم شدن تعداد آنها، برش ذرات، دیگر امکان پذیر نیست؛ بنابراین حلقه گذاری دور ذرات سازوکار غالب در حرکت نابجایی هاست [۲۸]. این منجر به کاهش عمدۀ میزان کرنش مرحله دوم برای این نمونه می شود. مرحله سوم به وسیله کاهش یکنواخت نرخ کارسختی با افزایش تنش مشخص می شود، که به بازیابی دینامیکی مرتبط است، که بستگی کمتری به زمان نسبت به دما دارد. مرحله سوم با لغش متقطع مرتبط است، و



شکل ۹- سطح شکست نمونه‌های شکل دهی خزشی شده در بزرگنمایی‌های مختلف: الف) و ج) نمونه ۱۵۰-۴۸، ب) و د) نمونه ۱۵۰-۴۸-۲۴

به علاوه، جوانه‌زنی و رشد ترک‌های ثانویه باعث تسریع شکست آلیاژ می‌شود. درنتیجه، از دیاد طول آلیاژ مورد بررسی، با افزایش دمای شکل دهی کاهش می‌یابد [۲۳].

۴- نتیجه‌گیری

شکل دهی خزشی آلیاژ آلمینیوم ۷۰۷۵ در دما و زمان‌های مختلف مورد بررسی قرار گرفت. خلاصه‌ای از مهم‌ترین نتایج به دست آمده، به صورت زیر است:

۱- برگشت فنری تابع دما و زمان شکل دهی بوده و با افزایش دما و زمان شکل دهی خزشی میزان برگشت فنری از ۵۴/۱ درصد به ۳۹/۵۱ کاهش می‌یابد.

۲- ماکریزم سختی و خواص کششی در شکل دهی خزشی ورق آلمینیوم ۷۰۷۵ در سیکل ۱۵۰-۲۴ به دست آمد.

۳)- با توجه به تغییرات برگشت فنری، شکل پذیری و خواص

۱۵۰-۲۴ از دیاد طول بیشتری در مقایسه با نمونه ۱۵۰-۴۸ ساعت نشان می‌دهد، که این نتیجه‌گیری با نتایج اندازه‌گیری شده در شکل (۴-ج) همخوانی دارد. وقتی دمای شکل دهی به ۱۸۰ درجه سانتی‌گراد می‌رسد، فرایند رسوب‌گذاری و رشد رسوبات پیراسازی می‌تواند تا حد زیادی تسریع شود. به دلیل ناسازگاری بین رسوبات و زمینه آلمینیومی، حرکت نابجایی‌ها در طی تغییرشکل کششی به دلیل حضور رسوبات سخت خواهد بود و یک تنش القایی اطراف رسوبات ایجاد می‌شود. وقتی تنش متراکز به مقدار بحرانی بررسد، بین رسوبات گسیختگی اتفاق می‌افتد و باعث پیدایش حفرات کوچک اطراف گودی‌های بزرگ می‌شود. در طول فرایند اتصال حفرات، منطقه تحمل مؤثر^{۱۲} نمونه کشش کاهش می‌یابد، که باعث جوانه‌زنی و رشد ریز حفرات^{۱۳} می‌شود. وقتی منطقه تحمل مؤثر به یک مقدار بحرانی می‌رسد زمینه آلمینیومی به سرعت می‌شکند.

با افزایش دمای شکل دهی از دیداد طول نمونه ها کاهش یافته و چگالی حفرات ریز در سطح شکست نمونه ها کمتر می شود و رفتار شکست نمونه ها رفتار رفتار از نرم به ترد گرایش می یابد.

mekanikي، شکل دهی خزشی ورق آلمینیوم ۷۰۷۵ با ضخامت ۳/۲ میلی متر، در دمای ۱۵۰ درجه سانتی گراد و بازه زمانی ۴۸-۲۴ ساعت پیشنهاد می شود.

واژه نامه

- 1. stress corrosion cracking
- 2. textron
- 3. creep age forming
- 4. significant creep region
- 5. less creep region
- 6. steady state creep
- 7. secondary slip
- 8. forest dislocations
- 9. areal glide
- 10. dimples
- 11. river marks
- 12. effective bearing area
- 13. micro voids

مراجع

1. Dursun, T., and Soutis, C., "Recent Developments in Advanced Aircraft Aluminium Alloys", *Materials & Design*, Vol. 56, pp. 862-871, 2014.
2. Heinz, A., Haszler, A., Keidel, C., Moldenhauer, S., Benedictus, R., and Miller, W. S., "Recent Development in Aluminium Alloys for Aerospace Applications", *Materials Science and Engineering*, Vol. 280, pp. 102-107, 2000.
3. Knight, S. P., Pohl, K., Holroyd, N. J. H., Birbilis, N., Rometsch, P. A., Muddle, B. C., Goswami, R., and Lynch, S. P., "Some Effects of Alloy Composition on Stress Corrosion Cracking in Al-Zn-Mg-Cu Alloys", *Corrosion Science*, Vol. 98, pp. 50-62, 2015.
4. Lin, Y. C., Zhang, J. L., Liu, G., and Liang, Y. J., "Effects of Pre-Treatments on Aging Precipitates and Corrosion Resistance of a Creep-Aged Al-Zn-Mg-Cu Alloy", *Materials & Design*, Vol. 83, pp. 866-875, 2015.
5. Lin, Y. C., Jiang, Y. Q., Zhang, X. C., Deng, J., and Chen, X. M., "Effect of Creep-Aging Processing on Corrosion Resistance of an Al-Zn-Mg-Cu Alloy", *Materials & Design*, Vol. 61, pp. 228-238, 2014.
6. Timoshenko, S., and Woinowsky-Krieger, S., *Theory of Plates and Shells*, McGraw-Hill, Inc., Vol. 591, 1959.
7. Zhan, L., Lin, J., and Dean, T. A., "A Review of the Development of Creep Age Forming: Experimentation, Modelling and Applications", *International Journal of Mechanics & Tools Manufacturing*, Vol. 51, pp. 1-17, 2011.
8. Han L. H., Tan S. G., Huang M. H., and Xuhua, Y., "Spring Back for 2124 Aluminum Alloy During Creep Aging Forming", *Materials for Mechanical Engineering*, Vol. 01, pp. 21-24, 2013.
9. Zhan, L. H., Tan, S. G., Huang, M. H., and Niu, J., "Creep Age-Forming Experiment and Springback Prediction for AA2524", *Advance Materials Research*, Vol. 457-458, pp. 122-129, 2012.
10. Jia, S. -F., Zhan, L. -H., and Xu, X.-L., "Experimental Research on the Springback in Creep Age Forming of Aluminum Alloy Panel with Stiffeners", *Suxing Gongcheng Xuebao*, *Journal of Plasticity Engineering*, Vol. 20, p. 3969, 2013.
11. Arabi Jeshvaghani, R., Zohdi, H., Shahverdi, H. R., Bozorg, M., and Hadavi, S. M. M., "Influence of Multi-Step Heat Treatments in Creep Age Forming of 7075 Aluminum Alloy: Optimization for Springback, Strength and Exfoliation Corrosion", *Matereials Characterization*, Vol. 73, pp. 8-15, 2012.
12. Zhang, J., Deng, Y. L., Li, S. Y., Chen, Z. Y., and Zhang, X. M., "Creep Age Forming of 2124 Aluminum Alloy with Single/Double Curvature", *Transaction of Nonferrous Metals. Society of China* (English Ed.), Vol. 23, pp. 1922-1929, 2013.
13. Ho, K. C., Lin, J., and Dean, T. A., "Modelling of Springback in Creep Forming Thick Aluminum Sheets", *International Journal of Plasticity*, Vol. 20, pp. 733-751, 2004.
14. Lam, A. C. L., Shi, Z., Yang, H., Wan, L., Davies, C. M., Lin, J., and Zhou, S., "Creep-Age Forming AA2219 Plates with Different Stiffener Designs and Pre-Form Age Conditions: Experimental and Finite Element Studies", *Journal of Materials Process Technology*, Vol. 219, pp. 155-163, 2015.
15. Yang, Y., Zhan, L., Shen, R., Yin, X., Li, X., Li, W., Huang, M., and He, D., "Effect of Pre-Deformation on Creep Age Forming of 2219 Aluminum Alloy: Experimental and Constitutive Modelling", *Materials Science and Engineering A*, Vol. 683, pp. 227-235, 2017.
16. Xu, Y., Zhan, L., and Li, W., Effect of Pre-Strain on Creep Aging Behavior of 2524 Aluminum Alloy", *Journal of Alloys and Compound*, Vol. 691, pp. 564-571, 2017.

17. Arabi Jeshvaghani, R., Emami, M., Shahverdi, H. R., and Hadavi, S. M. M., "Effects of Time and Temperature on the Creep Forming of 7075 Aluminum Alloy: Springback and Mechanical Properties", *Materials Science and Engineering A*, Vol. 528, pp. 8795-8799, 2011.
18. Zhang, J., Wang, Y., Deng, Y., and Zhang, X., "Effect of Deformation Degree on the Creep Age Forming of 7475 aluminum Alloy: The Feasibility of the Extended Deformation Range", *Materials Science and Engineering A*, Vol. 664, pp. 126-134, 2016.
19. Li, H. Y., and Lu, X. C. "Springback and Tensile Strength of 2A97 Aluminum Alloy During Age Forming", *Transaction of Nonferrous Metals Society of China* (English Ed.), Vol. 25, pp. 1043-1049, 2015.
20. Lei, C., Yang, H., Li, H., Shi, N., and Zhan, L. H., Dependences of Microstructures and Properties on Initial Tempers of Creep Aged 7050 Aluminum Alloy", *Journal of Material Process Technology*, Vol. 239, pp. 125-132, 2017.
21. Arabi Jeshvaghani, R., Shahverdi, H. R., and Hadavi, S. M. M., "Investigation of the Age Hardening and Operative Deformation Mechanism of 7075 Aluminum Alloy under Creep Forming", *Materials Science and Engineering A*, Vol. 552, pp. 172-178, 2012.
22. Ho, K. C., Lin, J., and Dean, T. A., "Constitutive Modelling of Primary Creep for Age Forming an Aluminium Alloy", *Journal of Materials Process Technology*, Vol. 153-154, pp. 122-127, 2004.
23. Hu, L., Zhan, L., Shen, R., Liu, Z., Ma, Z., Liu, J., Yang, Y., "Effects of Uniaxial Creep Ageing on the Mechanical Properties and Micro Precipitates of Al-Li-S4 Alloy", *Materials Science and Engineering A*, Vol. 688, pp. 272-279, 2017.
24. Merica, P. D., "Precipitation Hardening", *Meterials Progress*, Vol. 27, pp. 31-35, 1935.
25. McCallum, S., "Upper Body Structure Design Strategies Upper Body Structure Design Strategies Implemented on the 2011 Chevrolet Volt, Strategies. 2011.
26. Reda, Y., Abdel-Karim, R., and Elmahallawi, I., "Improvements in Mechanical and Stress Corrosion Cracking Properties in Al-Alloy 7075 via Retrogression and Reaging", *Materials Science and Engineering A*, Vol. 485, pp. 468-475, 2008.
27. Feng, J., Li, Z., Peng, W. C., Xing L. I., Z. Qiang J., W., Jing Chen, Z., and Qiao, Zh., "Mechanical Properties, Corrosion Behaviors and Microstructures of 7075 Aluminium Alloy with Various Aging Treatments", *Transaction of Nonferrous Metals Society of China* (English Ed.), Vol. 18, pp. 755-762, 2008.
28. Alexopoulos, N. D., Velonaki, Z., Stergiou, C. I., and Kourkoulis, S. K., "Effect of Ageing on Precipitation Kinetics, Tensile and Work hardening Behavior of Al-Cu-Mg (2024) Alloy", *Materials Science and Engineering A*, Vol. 700 , pp. 457-467, 2017.
29. Ratheneau, G. W., "Report of the Conference on Defects in Crystalline Solids", *Acta Crystallographica*, Vol. 8, pp. 855-856, 1955.